

# ВЫНУЖДЕННОЕ КОМБИНАЦИОННОЕ РАССЕЯНИЕ В ПРИБЛИЖЕНИИ ОДНОНАПРАВЛЕННОГО РАСПРОСТРАНЕНИЯ В СРЕДЕ С ПОСТОЯННЫМИ ДИПОЛЬНЫМИ МОМЕНТАМИ

*A. A. Заболотский\**

*Институт автоматики и электрометрии Сибирского отделения Российской академии наук  
630090, Новосибирск, Россия*

Поступила в редакцию 29 июня 2015 г.

Выведены эволюционные уравнения двухчастотного вынужденного комбинационного рассеяния в молекулярной квазитрехуровневой среде с постоянными дипольными моментами. При выводе применялись приближения неистощения поля накачки и однонаправленного распространения поля Стокса. Найдены полностью интегрируемые частные случаи полученной системы уравнений. В рамках этой модели изучаются новые механизмы управления параметрами микроволновых импульсов, генерируемых в такой системе. Численный анализ и частные точные решения показывают возможность переключения между режимами генерации узких импульсов стоксова поля и импульсов с формой, близкой к прямоугольной.

**DOI:** 10.7868/S0044451016010053

## 1. ВВЕДЕНИЕ

Комбинационное рассеяние света в двухуровневой среде, как один из основных механизмов конверсии частоты, является важным и детально как теоретически, так и экспериментально изученным явлением нелинейной оптики [1–3]. Стандартные начальные условия, реализуемые при экспериментальном наблюдении комбинационного рассеяния, отвечают разным режимам генерации импульсов поля Стокса (ПС) в нелинейной резонансной среде. Наряду с кооперативным комбинационным рассеянием [4], в котором ПС описывается пакетом затухающих нелинейных осцилляций [5, 6], возможны условия, при которых генерируются солитоны ПС. Изучение генерации солитонов при вынужденном комбинационном рассеянии (ВКР) имеет длительную историю, начиная с работ [7, 8] и др. Теория ВКР, как правило, использует приближение медленных огибающих для взаимодействующих полей [1]. Вне рамок этого приближения эволюция световых полей при параметрическом двухфotonном взаимодействии изучалась численно в работе [9] и теоретически для постоянной квазимохроматической волны поля накачки и импульса ПС без огибающей в линейном при-

ближении — в [10]. Схемы, включающие резонансные трехуровневые среды, в которых происходит эффективная конверсия светового поля в импульсы другого частотного диапазона, представляют практический интерес. В работе [11] экспериментально показана возможность эффективного параметрического четырехвольнового смешения волн, включающего две компоненты светового квазимохроматического поля накачки и две компоненты стоксовой микроволны в двухуровневой среде. В [12] теоретически исследовался интегрируемый вариант аналогичной схемы взаимодействия.

Изучение динамики импульсов полей в нецентрально-симметричных средах вне рамок приближения медленных огибающих требует учета постоянных дипольных моментов (ПДМ), нередко имеющих тот же порядок, что и дипольные моменты оптических переходов. В двухуровневой среде вклад ненулевого ПДМ проявляется в квазирезонансном одно- или двухфotonном нелинейном поглощении и комбинационном рассеянии [13–15], микроволновой генерации лазерным излучением [16] и т. д.

Наиболее полную аналитическую информацию об эволюции импульсов в нелинейных средах можно получить точным решением начально-краевой задачи, поэтому нахождение и исследование полностью интегрируемых систем представляет несомненный интерес [17]. В рамках интегрируемых уравнений Максвелла – Блоха однофotonное взаимодействие

---

\* E-mail: zabolotskii@iae.nsk.su

ствие света с двухуровневой средой без использования приближения медленной огибающей в простейшем случае изучалось в работе [18] и др., с учетом ПДМ и других обобщений — в работах [19–23] и др., см. также обзоры [3, 24].

В настоящей работе выведена новая модель ВКР в эффективной двухуровневой среде с ПДМ в режиме неистощения монохроматического поля накачки. Для ПС применяется приближение однонаправленного распространения. В частности, такая модель может применяться для описания генерации импульсов микроволнового или терагерцевого ПС вне рамок приближения медленной огибающей.

Работа построена следующим образом. В разд. 2 выводится основная система уравнений. Раздел 3 посвящен численному решению уравнений. В разд. 4 приводится представление нулевой кривизны интегрируемого варианта уравнений. Затем, в разд. 5 рассматривается предел слабого возбуждения среды. После Заключения (разд. 6) в Приложении приводятся значения коэффициентов линейных систем, дающих представление нулевой кривизны некоторых интегрируемых вариантов выведенной системы уравнений.

## 2. ВЫВОД ОСНОВНЫХ УРАВНЕНИЙ

Пусть электромагнитные волны, имеющие следующую форму:

$$E(x, t) = P(x, t)e^{i\omega t - ikx} + P(x, t)^*e^{-i\omega + ikx} + S(x, t), \quad (1)$$

распространяются в одномерной среде, содержащей многоуровневую систему, показанную на рис. 1. Здесь  $P$  — амплитуда монохроматического поля накачки с несущей частотой  $\omega$  и волновым вектором  $k$ ,  $S$  — амплитуда ПС. Считается, что

$$\omega, \omega_{1l}, \omega_{21} \gg \omega_{l2}, \quad (2)$$

где  $\omega_{ij}$  — частота перехода  $i \leftrightarrow j$  и индекс  $l = 3, 4, 5, \dots, L$  относится к группе из  $L - 2, L \geq 3$ , виртуальных уровней с энергией  $\hbar\omega_l > \hbar\omega_2$  (рис. 1). Дипольные переходы между уровнями с энергией  $\omega_l$  не учитываем, поскольку далее предполагается, что время жизни виртуальных уровней мало.

Обозначим амплитуду  $j$ -го уровня как  $\psi_j$  ( $j = 1, 2, l, l = 3, 4, \dots, L$ ) и пусть

$$\psi_n(x, t) = \phi_n(x, t)e^{i\omega t - ikx}, \quad \psi_1(x, t) = \phi_1(x, t), \quad (3)$$

где  $n = 2, l$ , и для амплитуд  $\psi_2, \psi_l$  применим приближение медленных огибающих:

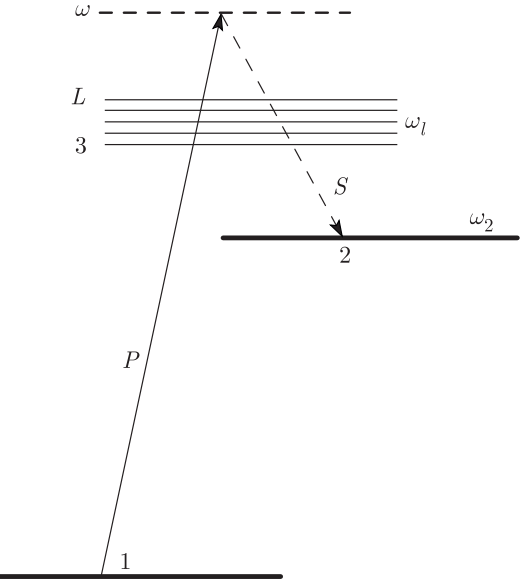


Рис. 1. Схема взаимодействия  $L$ -уровневой среды ( $L \geq 3$ ) с полем накачки  $P$ .  $S$  — генерируемое поле Стокса

$$|\partial_t \phi_n(x, t)| \ll \omega |\phi_n(x, t)|, \quad n = 2, l.$$

Динамика амплитуд описывается уравнениями фон Неймана [25]:

$$\frac{\partial \phi_l}{\partial t} = i(\omega_{l1} - \omega + i\gamma_l + \mu_{ll}S)\phi_l + i\mu_{l2}S\phi_2 + i\mu_{l1}P\psi_1, \quad (4)$$

$$\frac{\partial \phi_2}{\partial t} = i(\omega_{21} - \omega + i\gamma_2 + \mu_{22}S)\phi_2 + i \sum_l \mu_{2l}S\phi_l, \quad (5)$$

$$\frac{\partial \psi_1}{\partial t} = i(\mu_{11}S)\psi_1 + i \sum_l \mu_{1l}P^*\phi_l, \quad (6)$$

где  $\mu_{ij} = d_{ij}\hbar^{-1}$ ,  $d_{ij}$  — дипольный момент перехода  $i \leftrightarrow j$ ,  $i \neq j$ , и  $d_{ii}$  — ПДМ, ассоциированный с уровнем энергии  $i$ .

В многоуровневой среде метод адиабатического исключения виртуальных уровней позволяет свести уравнения Максвелла–Блоха к эффективной системе нелинейных эволюционных уравнений, описывающих нелинейную стадию комбинационного взаимодействия для квазимонохроматических импульсов [1, 26–29]. При выполнении ряда стандартных упрощений эти уравнения приводятся к полностью интегрируемой системе уравнений двухфотонного взаимодействия [30, 31].

Предполагаем, что время жизни виртуальных уровней  $l = 3, 4, \dots, L$  мало и к ним может быть применена стандартная процедура адиабатического

исключения [1, 27], после применения которой получаем уравнения

$$\frac{\partial \rho_{11}}{\partial t} = iS \left( \sum_l \frac{\mu_{1l}\mu_{l2}}{\Omega_l} P \rho_{21} + \sum_l \frac{\mu_{2l}\mu_{l1}}{\Omega_l^*} P^* \rho_{12} \right), \quad (7)$$

$$\frac{\partial \rho_{22}}{\partial t} = -\frac{\partial \rho_{11}}{\partial t}, \quad (8)$$

$$\begin{aligned} \frac{\partial \rho_{12}}{\partial t} = & -i \left[ \omega_{21} - \omega - i\gamma_2 + (\mu_{22} - \mu_{11}) S + \right. \\ & \left. + \sum_l \frac{|\mu_{1l}|^2}{\Omega_l} |P|^2 \right] \rho_{12} - i \sum_l \frac{\mu_{2l}\mu_{l1}}{\Omega_l^*} \times \\ & \times SP^* (\rho_{22} - \rho_{11}), \end{aligned} \quad (9)$$

где

$$\Omega_l = \omega_{l1} - \omega + i\gamma_l + \mu_{ll} S,$$

$\rho_{ij} = \psi_i \psi_j^*$ ,  $i, j = 1, 2$ ,  $l$  — элементы матрицы плотности [1]. При выводе уравнения (9), полагая, что  $|P|^2 \gg S^2$ , мы пренебрегли членами, пропорциональными  $|\mu_{2l}S|^2$ ,  $|\mu_{2l}\mu_{l1}|S^2$ , в правой его части, как и во всех остальных уравнениях. Амплитуду поля накачки считаем константой. Ниже мы рассматриваем когерентный режим эволюции ПС, поэтому пренебрегаем релаксацией, положив  $\gamma_2 \rightarrow 0$ ,  $\gamma_l \rightarrow 0$ . С учетом этих предположений ниже полагаем, что  $\Omega_l = \omega_{l1} - \omega$ .

Остальные элементы матрицы плотности:

$$\rho_{l2} = -\frac{S\mu_{2l}}{\Omega} \rho_{22} - \frac{P\mu_{l1}}{\Omega} \rho_{12}, \quad (10)$$

$$\rho_{1l} = -\frac{S\mu_{l2}}{\Omega} \rho_{12} - \frac{P^*\mu_{1l}}{\Omega} \rho_{11}, \quad (11)$$

$$\begin{aligned} \rho_{ll} = & \frac{|P|^2 |\mu_{1l}|^2}{|\Omega|^2} \rho_{11} + \\ & + \frac{S}{|\Omega|^2} (P\mu_{1l}\mu_{l2}\rho_{12} + P^*\mu_{l1}\mu_{2l}\rho_{21}), \end{aligned} \quad (12)$$

адиабатически следуют изменениям  $\rho_{ij}(x, t)$ ,  $i, j = 1, 2$ .

Поляризация молекулы, ассоциированная с полем  $S$ , имеет вид

$$\begin{aligned} p = \text{Tr} \left\{ \hat{\rho} \frac{H_{int}}{\partial S} \right\} = & d_{11}\rho_{11} + d_{22}\rho_{22} + \\ & + \sum_{l=0}^L (d_{ll}\rho_{ll} + d_{l2}\rho_{2l} + d_{2l}\rho_{l2}), \end{aligned} \quad (13)$$

где  $H_{int}$  — гамильтониан взаимодействия электромагнитного поля с молекулой.

Используя (10)–(12), находим из (13), что

$$\begin{aligned} p = & d_{22}\rho_{22} + (d_{11} + \kappa'_{11}|P|^2) \rho_{11} + \\ & + S (P\rho_{12}\kappa'_{12} + P^*\rho_{21}\kappa'_{21}) - 2\hbar\kappa_{22}S\rho_{22} - \\ & - \hbar(\rho_{12}\kappa_{12}P + \rho_{21}\kappa_{21}P^*). \end{aligned} \quad (14)$$

Здесь

$$\begin{aligned} \kappa_{12} &= \sum_{l=3}^L \frac{d_{l1}d_{2l}}{\hbar^2\Omega_l}, \quad \kappa'_{12} = \sum_{l=3}^L \frac{d_{ll}d_{l1}d_{2l}}{\hbar^2|\Omega_l|^2}, \\ \kappa'_{21} &= \sum_{l=3}^L \frac{d_{ll}d_{1l}d_{l2}}{\hbar^2|\Omega_l|^2}, \\ \kappa_{ii} &= \sum_{l=3}^L \frac{d_{li}d_{il}}{\hbar^2\Omega_l}, \quad \kappa'_{ii} = \sum_{l=3}^L \frac{d_{ll}d_{li}d_{il}}{\hbar^2|\Omega_l|^2}, \quad i = 1, 2. \end{aligned} \quad (15)$$

Введем эффективные действительные дипольные моменты  $m_{ij}$ ,  $m'_{jl}$  следующим образом:

$$\begin{aligned} \hbar\kappa_{12} &= \epsilon m_{12} f e^{i\alpha_1}, \quad \hbar\kappa_{21} = \epsilon m_{12} f e^{-i\alpha_1}, \\ \kappa'_{12} &= m'_{12} f^2 e^{i\alpha_2}, \quad \kappa'_{21} = m'_{12} f^2 e^{-i\alpha_2}, \\ \hbar\kappa_{ii} &= \epsilon m_{ii} f, \quad \kappa'_{ii} = m'_{ii} f^2, \quad i = 1, 2. \end{aligned} \quad (16)$$

Здесь  $f = d_0/\hbar|\Omega_0|$ ,  $d_0$  — некоторый средний дипольный момент,  $\Omega_0$  — средняя частота. Далее полагаем, что  $\alpha_1 = \alpha_2$ . Это равенство выполняется в каждом из следующих случаев: 1)  $L = 3$ , т. е. имеется только один виртуальный уровень; 2) дипольные моменты  $d_{1l}$ ,  $d_{2l}$  действительны; 3) ПДМ  $d_{ll}$  не зависит от  $l$ .

Перепишем поляризацию  $p$  в виде

$$\begin{aligned} p = & \left( m_- - m_{22} \frac{d_0 G}{m_{12} F} \right) R_3 + \\ & + \epsilon R_+ \left( m'_{12} \frac{d_0 G}{m_{12}} - m_{12} F \right) + \\ & + \left( m_+ - m_{22} \frac{d_0 G}{m_{12} F} \right) \rho_0, \end{aligned} \quad (17)$$

где  $F = f|P|$  — безразмерная константа,  $\epsilon = \text{sign}(\Omega_0)$ ,  $P = |P| \exp(i\alpha_0)$ ,  $\rho_0 = \rho_{22} + \rho_{11}$ ,

$$m_{\mp} = \frac{1}{2} (d_{22} \mp d_{11} \mp m'_{11} F^2). \quad (18)$$

Введены безразмерная функция

$$G = \epsilon \frac{m_{12}}{d_0} f S F \quad (19)$$

и вектор Блоха  $\mathbf{R} = (R_+, R_-, R_3)$ ,

$$\begin{aligned} R_+ &= \rho_{12} e^{i\alpha} + \rho_{21} e^{-i\alpha}, \\ R_- &= i\rho_{12} e^{i\alpha} - i\rho_{21} e^{-i\alpha}, \quad R_3 = \rho_{22} - \rho_{11}, \end{aligned} \quad (20)$$

где  $\alpha = \alpha_1 + \alpha_0$ .

Эволюция поля  $S$  в одномерной среде описывается уравнением

$$\frac{\partial^2 S}{\partial x^2} - \frac{1}{c_S^2} \frac{\partial^2 S}{\partial t^2} = \frac{4\pi N}{c_S^2} \frac{\partial^2 p}{\partial t^2}, \quad (21)$$

где  $c_S$  — фазовая скорость поля Стокса в среде и  $N$  — плотность имплантированных в нее резонансных молекул.

Применим к (21) приближение однона правленного распространения

$$c_S \partial_x S \approx -\partial_t S, \quad (22)$$

которое, как показано в работе [18], основывается на условии малости безразмерного коэффициента  $q$  перед элементами матрицы плотности в правой части (21). Численный анализ полученной ниже системы уравнений показал, что условие однона правленности (22) выполняется при  $q \lesssim 0.5$ .

После применения приближения (22) уравнения (7)–(9), (17), (21) принимают вид

$$\frac{\partial R_+}{\partial \tau} = -(\nu + mG) R_-, \quad (23)$$

$$\frac{\partial R_-}{\partial \tau} = (\nu + mG) R_+ + 2GR_3, \quad (24)$$

$$\frac{\partial R_3}{\partial \tau} = -2GR_-, \quad (25)$$

$$\frac{\partial G}{\partial \chi} = \frac{\partial}{\partial \tau} (cR_3 + aR_+ + dR_+G + hR_3G), \quad (26)$$

где  $\tau = |\Omega_0|t$ ,

$$\frac{\partial}{\partial \chi} = \frac{\hbar F}{2\pi m_{12}^2 N} \left( c_S \frac{\partial}{\partial x} + \frac{\partial}{\partial t} \right) - \frac{\epsilon m_{22} d_0 \rho_0}{m_{12}^2 F |\Omega_0|} \frac{\partial}{\partial t}, \quad (27)$$

$$\begin{aligned} \nu &= \frac{\omega_{21} - \omega}{|\Omega_0|} + \frac{\epsilon m_{11}}{d_0} F^2, \quad m = \epsilon \frac{d_{22} - d_{11}}{m_{12} F}, \\ c &= -\epsilon \frac{m_-}{m_{12}}, \quad a = F, \\ d &= -\frac{m'_{12} d_0}{m_{12}^2}, \quad h = \epsilon \frac{m_{22} d_0}{m_{12}^2 F}. \end{aligned} \quad (28)$$

Поскольку из уравнений (7)–(8) следует  $\partial_t \rho_0 = 0$ , последний член в правой части (17) дает вклад лишь в выражение для (27).

Система уравнений (23)–(26) описывает преобразование светового поля накачки в импульсы микроволнового ПС. Анализ показал, что при наложении условия

$$2c + ma = \nu d \quad (29)$$

этая система допускает представление нулевой кривизны и, как следствие, применение к ней метода обратной задачи рассеяния.

### 3. РЕЗУЛЬТАТЫ ЧИСЛЕННОГО РЕШЕНИЯ СИСТЕМЫ

Рассмотрим неинтегрируемый в общем случае вариант системы (23)–(26). Результаты численного решения для некоторых действительных значений коэффициентов показаны на рис. 2–4. Обнаружено, что форма импульсов ПС критическим образом меняется при смене знака  $\epsilon$  или  $\nu$ . Для  $\nu > 0$  с ростом  $|h|, |d|$  полуширина импульса стремится к нулю (рис. 2), а в случае  $\nu < 0$  принимает прямоугольную форму (рис. 3). Форму импульса можно контролировать сдвигом несущей частоты, дающей вклад в  $\nu$ , или изменением амплитуды поля накачки, которые входят в выражения для коэффициентов (28). Эти эффекты обусловлены вкладом нелинейностей с коэффициентами  $d, h$  и наличием ПДМ. Для резонансной среды с ПДМ изменение расстройки  $|\omega_{12} - \omega| \propto \nu$  критическим образом влияет на форму импульса в отличие от ВКР в такой же среде, но без ПДМ. В рамках моделей ВКР, выведенных в приближении медленных огибающих [27, 30], изменение  $|\nu|$  приводит лишь к изменению групповой скорости импульсов. Таким образом, применение резонансной среды с ПДМ дает дополнительные возможности контроля параметров импульсов ПС при ВКР. На рис. 4 в качестве иллюстрации показана форма импульсов ПС для разных  $\nu$ .

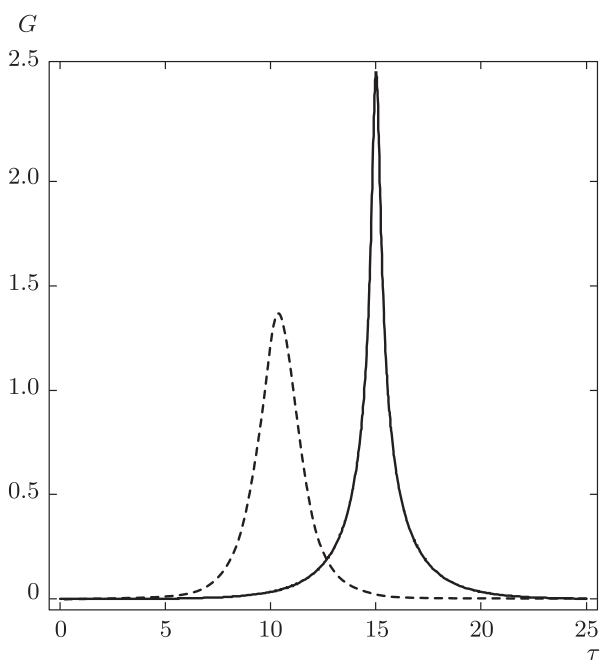
### 4. ПРЕДСТАВЛЕНИЕ НУЛЕВОЙ КРИВИЗНЫ

Система (23)–(26) допускает представление нулевой кривизны, применение метода обратной задачи рассеяния [17], других методов нахождения точных солитонных и других решений при выполнении условия (29). В частном случае  $h = d = 0$  система (23)–(26) формально эквивалентна редуцированным уравнениям Максвелла–Блоха для двухуровневой среды с ПДМ. При этом условие (29) удовлетворяется вследствие симметрии соответствующего гамильтониана [19]. В общем случае условие (29) может быть выполнено подбором несущей частоты  $\omega$  и (или) амплитуды  $|P|$ .

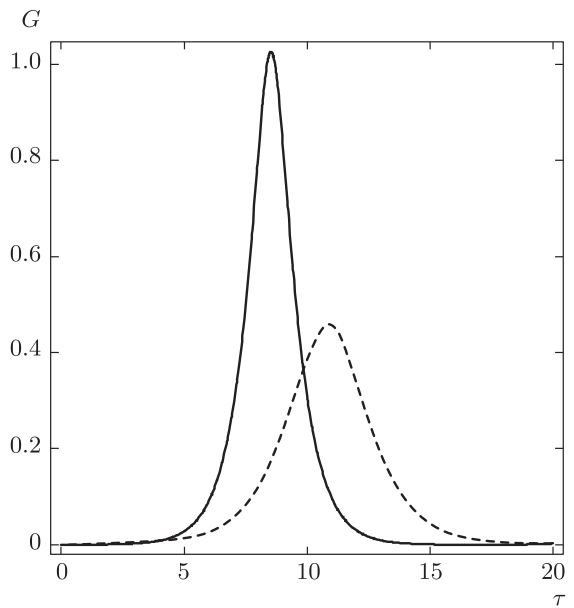
При выполнении условия (29) и  $\nu \neq 0$  система (23)–(26) является необходимым условием коммутативности  $(\partial_\tau \hat{L} - \partial_\chi \hat{A} + [\hat{L}, \hat{A}] = 0)$  следующих систем уравнений:

$$\partial_\tau \Phi = \hat{L} \Phi = \begin{pmatrix} -i\lambda & \gamma G + \gamma_0 \\ \tilde{\gamma} G + \tilde{\gamma}_0 & i\lambda \end{pmatrix} \Phi, \quad (30)$$

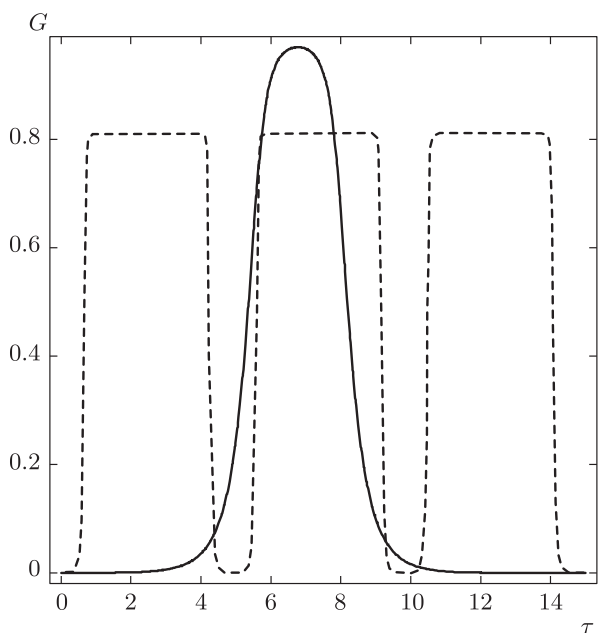
$$\partial_\chi \Phi = \hat{A} \Phi, \quad (31)$$



**Рис. 2.** Форма импульсов  $G(\tau)$  при  $a = -1, m = \nu = 1, d = 0, h = 0.5$  (сплошная линия), 0 (пунктирная)



**Рис. 4.** Форма импульсов  $G(\tau)$  при  $a = 1, m = 1, d = 0, h = -0.2, \nu = 0.5$  (сплошная линия), 1 (пунктирная)



**Рис. 3.** Форма импульсов  $G(\tau)$  при  $a = -\nu = 1, m = 2, d = 0.5, h = 0.5$  (сплошная линия), 0.99 (пунктирная)

где  $\Phi(\tau, \chi) = 2 \times 2$ -матричная функция. Элементы  $A_{ij}$  матрицы  $\hat{A}$  имеют следующий вид:

$$A_{12} = \beta_+ R_+ + \beta_- R_- + \beta_3 R_3 + \delta G R_+ + \sigma G R_3, \quad (32)$$

$$A_{21} = \tilde{\beta}_+ R_+ + \tilde{\beta}_- R_- + \tilde{\beta}_3 R_3 + \tilde{\delta} G R_+ + \tilde{\sigma} G R_3, \quad (33)$$

$$A_{11} = i\alpha_+ R_+ + i\alpha_3 R_3 = -A_{22}. \quad (34)$$

В общем случае, т. е. для произвольных действительных параметров  $a, d, h, m, \nu$ , представление (30), (31) допускает однозначную спектральную параметризацию только на эллиптической кривой. Общее и некоторые частные выражения для коэффициентов матриц  $\hat{L}$  и  $\hat{A}$  приведены ниже и в Приложении.

Система уравнений (23)–(26), описывающая генерацию импульсов микроволнового поля при ВКР, является новой и для среды с центром симметрии, т. е. среды, в которой  $\mu_{ii} = 0, i = 1, 2, l$  ( $c = d = m = 0, a \neq 0, \nu \neq 0, h \neq 0$ ). Как следствие, условие интегрируемости (29) выполняется тождественно. Линейные системы (30) и (31) в этом случае имеют вид

$$\partial_\tau \Phi = \begin{pmatrix} -i\lambda & (iq\lambda + s)G \\ (iq\lambda - s)G & i\lambda \end{pmatrix} \Phi, \quad (35)$$

$$\partial_x \Phi = \begin{pmatrix} 0 & (iq\lambda + s)hR_3G \\ (iq\lambda - s)hR_3G & 0 \end{pmatrix} \Phi + \frac{1}{\nu^2 - 4\lambda^2} \times \\ \times \begin{pmatrix} i[\lambda\nu(2a - h\nu) + 4h\lambda^3]R_3 & (iq\lambda + s)[a\nu^2R_+ - 2ia\nu\lambda R_-] \\ (iq\lambda - s)[a\nu^2R_+ + 2ia\nu\lambda R_-] & -i[\lambda\nu(2a - h\nu) + 4h\lambda^3]R_3 \end{pmatrix} \Phi, \quad (36)$$

где

$$s = \sqrt{1 - \frac{h\nu}{2a}}, \quad q = \sqrt{\frac{2h}{a\nu}}. \quad (37)$$

Если дополнительно положить  $h = 0$ , то система уравнений (23)–(26) приводится к системе уравнений, применяемых для описания эволюции солитонов без огибающей в двухуровневой среде [18]. Эти солитоны распространяются в среде без изменения формы. Изменение частоты пропорционально  $\nu$  приводит в этом случае лишь к монотонному изменению групповой скорости солитона. При  $h \neq 0$  и в интегрируемом частном случае форма солитонов так же, как и выше, зависит от знака  $\nu$  критическим образом. Линейная система (35) эквивалентна спектральной задаче Вадатти – Конно – Ичикавы, которая использовалась Матсуно [32] при нахождении солитонных и бризерных решений обобщенного уравнения синус-Гордона. Аналогичная проблема возникает и в другой точно решаемой задаче [33]. Следуя работам [32], можно найти решения для этого частного случая модели. Солитонные решения подтверждают зависимость формы импульсов ПС от значений коэффициентов  $\nu$ ,  $a$ ,  $h$ . Более сложные, например, бризерные решения, демонстрируют сильную зависимость от нелинейности, пропорциональную  $h$ . В качестве иллюстрации на рис. 5 для трех малых значений  $h$  приведены графики точного бризерного решения, которое получено по аналогии с решениями Матсуно [32].

## 5. СЛАБОЕ ВОЗБУЖДЕНИЕ

Рассмотрим предел слабого возбуждения уровня 2, т. е.  $\rho_{22} \ll 1$ ,  $R_3 \approx -1$ . После преобразований

$$r_+ = R_+ + 2/m, \quad U = G + \nu/m, \quad (38)$$

$$\chi' = m\chi - m\tau/2$$

система (23)–(26) принимает вид

$$\frac{\partial r_+}{\partial \tau'} = -UR_-, \quad (39)$$

$$\frac{\partial R_-}{\partial \tau'} = Ur_+ + p_0, \quad (40)$$

$$\frac{\partial U}{\partial \chi'} = (d\nu - am)UR_- + dm\frac{\partial^2 R_-}{\partial \tau'}, \quad (41)$$

где  $\tau' = m\tau$  и  $p_0 = 2\nu/m^2$ .

Найдем автомодельное решение, зависящее от переменной  $\eta = \tau' - \chi'/V$ , где  $V$  — константа. Пусть  $\nu = 0$ , тогда для угла Блоха

$$\Theta = \int_{-\infty}^{\eta} U(\eta') d\eta'$$

находим из уравнений (39)–(41) выражение

$$\left( \frac{1}{V} + d \cos \Theta \right) \frac{\partial \Theta}{\partial \eta} = -c_0 - a \cos \Theta, \quad (42)$$

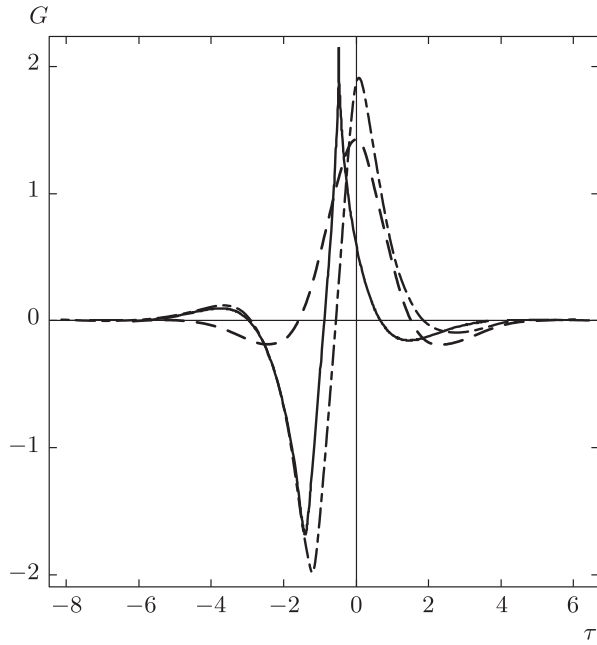
где  $c_0$  — константа интегрирования. Уравнение (42) имеет решение в неявном виде:

$$\frac{2(a - c_0 V d)}{V \sqrt{a^2 - c_0^2}} \operatorname{arth} \left( \frac{c_0 - a}{\sqrt{a^2 - c_0^2}} \operatorname{tg} \frac{\Theta}{2} \right) = \frac{\Theta d}{a} - \eta. \quad (43)$$

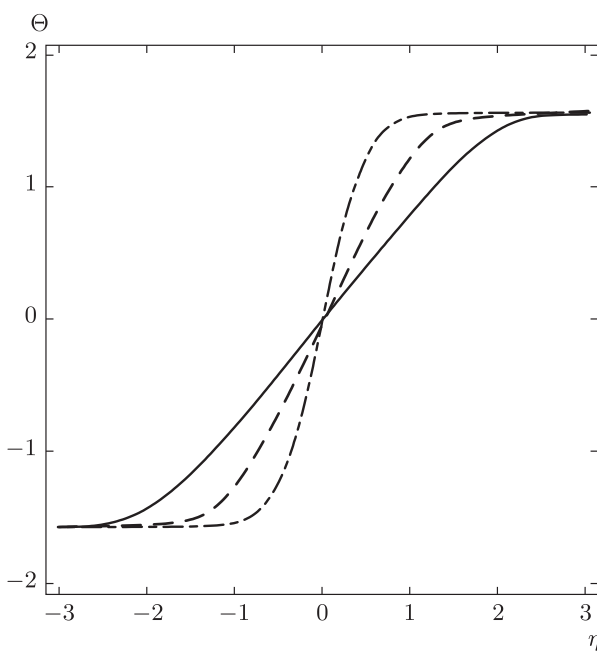
Зависимость  $\Theta(\eta)$  изображена на рис. 6 и 7 для разных значений коэффициента нелинейности  $d$ . Обнаружено, что для  $d < 0$  зависимость  $\Theta$  от  $\eta$  может быть трехзначной, а для  $d > 0$   $\Theta$  монотонно растет с увеличением  $\eta$ . Заметим, что в этом пределе модели, т. е. для постоянной амплитуды поля накачки и слабого возбуждения среды, нетривиальная динамика ВКР возможна лишь для ненулевого ПДМ ( $m \neq 0$ ) и вне приближения медленных огибающих для ПС. Отметим, что в этом пределе не существует представления нулевой кривизны для системы (39)–(41).

## 6. ЗАКЛЮЧЕНИЕ

В работе выведена новая система уравнений ВКР в резонансной среде, в которой применяется приближение одностороннего распространения ПС вместо обычно применяемого приближения медленной огибающей. Для резонансной среды без центра симметрии учтен вклад постоянных дипольных моментов, ассоциированных с разными уровнями энергии. В такой системе выявлены новые механизмы когерентного управления режимами генерации и параметрами импульсов ПС посредством изменения параметров поля накачки. Значения ПДМ варьируются в широких пределах для разных сред. Например, для молекулы РВРНС можно выделить трехуровневую оптическую схему с дипольными моментами  $d_{12} = 4.92d_0$ ,  $d_{13} = 2.804 \text{ \AA}$ ,  $d_{23} = 9.821 \text{ \AA}$ ,  $d_{22} = 2.95 \text{ \AA}$ ,  $d_{33} = 2.67 \text{ \AA}$ ,  $d_{11} \approx 0$  [34].

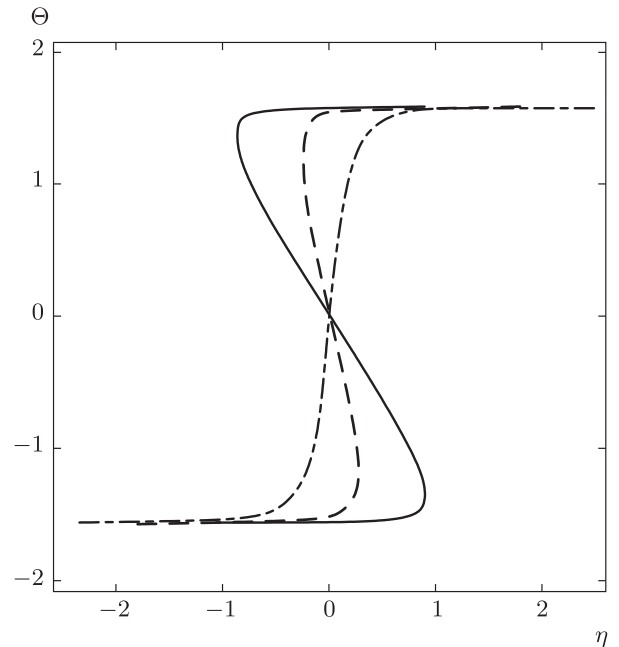


**Рис. 5.** Форма бризерного решения  $G(\tau)$  при  $-a = m = \nu = 1$ ,  $d = 0$ ,  $h = 10^{-4}$  (штриховая линия),  $10^{-2}$  (штрихпунктирная),  $1/18$  (сплошная)



**Рис. 6.** Зависимости  $\Theta$  от  $\eta$  для  $d = 1$  (штриховая линия),  $0.5$  (штрихпунктирная),  $0.1$  (сплошная)

Наряду с молекулярными средами ненулевой ПДМ возможен и в полупроводниках. Квантовый конфайнмент носителей в полупроводниках приво-



**Рис. 7.** Зависимости  $\Theta$  от  $\eta$  для  $d = -1$  (штриховая линия),  $-0.5$  (штрихпунктирная),  $-0.1$  (сплошная)

дит к образованию дискретных зон с очень большими силами осцилляторов, связанных с межзонными переходами. В асимметричных квантовых ямах возможен ненулевой ПДМ. Например, в работе [35] приводятся значения дипольных моментов для GaAs/Al<sub>0.14</sub>Ga<sub>0.86</sub> с барьерами Al<sub>0.3</sub>Ga<sub>0.3</sub>As между ямами. Дипольные моменты в трехзонной схеме следующие:  $d_{12} = 17.6d_0$ ,  $d_{13} = 11.1d_0$ ,  $d_{23} = 33.4d_0$ , и, соответственно, следующие ПДМ:  $d_{22} - d_{11} = -77.8d_0$ ,  $d_{33} - d_{11} = -72.9d_0$ ,  $d_{33} - d_{22} = 4.9d_0$ , где  $d_0 = 1.6 \cdot 10^{-29}$  Кл·м.

## ПРИЛОЖЕНИЕ

### Коэффициенты матрицы $\hat{A}$

#### 1. Общий вид

Для  $\nu \neq 0$  коэффициент  $\alpha_3(\lambda)$  — решение уравнения

$$\begin{aligned} \nu [\nu \alpha_3 (\alpha_3 + \lambda h) + \lambda \nu d \alpha_+] &= \\ &= \lambda [2\lambda (\alpha_3 + \lambda h) + a\nu] (2\alpha_3 + m\alpha_+), \quad (\text{A.1}) \end{aligned}$$

где

$$\alpha_+ = \frac{m}{2} (\alpha_3 + \lambda h) - \lambda d. \quad (\text{A.2})$$

Остальные коэффициенты имеют вид

$$\beta_3 = -\frac{\gamma_0 \alpha_3}{\lambda}, \quad \tilde{\beta}_3 = -\frac{\tilde{\gamma}_0 \alpha_3}{\lambda}, \quad (\text{A.3})$$

$$\beta_- = -i\gamma(\alpha_3 + \lambda h), \quad \tilde{\beta}_- = i\tilde{\gamma}(\alpha_3 + \lambda h), \quad (\text{A.4})$$

$$\beta_+ = -\frac{\gamma}{\nu}[2\lambda(\alpha_3 + \lambda h) + a\nu], \quad \tilde{\beta}_+ = \frac{\tilde{\gamma}}{\gamma}\beta_+, \quad (\text{A.5})$$

$$\gamma_0 = \frac{\gamma\lambda}{2\nu\alpha_3} [m\nu - d\nu^2 + 2m\lambda(\nu\alpha_3 + h\lambda)],$$

$$\tilde{\gamma}_0 = \gamma_0 \frac{\tilde{\gamma}}{\gamma}, \quad (\text{A.6})$$

$$\sigma = \gamma h, \quad \tilde{\sigma} = \tilde{\gamma} h, \quad \delta = \gamma d, \quad \tilde{\delta} = \tilde{\gamma} d, \quad (\text{A.7})$$

причем  $\gamma$  и  $\tilde{\gamma}$  — произвольные нетривиальные функции параметра  $\lambda$ , связанные условием

$$\gamma\tilde{\gamma} = -\frac{\alpha_3(4+m^2) + m\lambda(mh-2d)}{4(\alpha_3+h\lambda)}. \quad (\text{A.8})$$

В общем случае однозначная параметризация спектральной проблемы (30) возможна на эллиптической кривой.

## 2. Эллиптическая параметризация

Для произвольных действительных величин  $\nu \neq 0, m, a, d, h$  введем спектральный параметр  $\zeta$  следующим образом:

$$\lambda = \lambda_- \operatorname{sn}(\zeta, k), \quad k = \frac{\lambda_-}{\lambda_+}, \quad (\text{A.9})$$

где

$$\begin{aligned} \lambda_{\mp}^2 &= \frac{1}{4(2h+dm)^2} \times \\ &\times \left\{ Q_0 \mp |\nu| |hm-2d| \sqrt{\nu[d^2\nu-a(2h+dm)]} \right\}, \quad (\text{A.10}) \end{aligned}$$

$$Q_0 = \nu \{ \nu [4h^2 + d^2(8+m^2)] - \\ - a(2h+dm)(4+m^2) \}, \quad (\text{A.11})$$

$k$  — модуль эллиптических функций Якоби:  $\operatorname{sn} = \operatorname{sn}(\zeta, k)$ ,  $\operatorname{cn} = \operatorname{cn}(\zeta, k)$ ,  $\operatorname{dn} = \operatorname{dn}(\zeta, k)$ ;  $\zeta$  лежит в прямоугольнике

$$\mathcal{R} = \{ \zeta : |\operatorname{Re} \zeta| \leq 2\mathcal{K}, |\operatorname{Im} \zeta| \leq 2\mathcal{K}' \}.$$

Здесь  $\mathcal{K}(k)$  — полный эллиптический интеграл первого рода и  $\mathcal{K}'(k) = \mathcal{K}(k')$ ,  $k' = \sqrt{1-k^2}$ ;  $4\mathcal{K}(k)$  и  $4\mathcal{K}'(k)$  — соответственно действительный и мнимый периоды функций Якоби.

Решение (A.1) имеет вид

$$\begin{aligned} \alpha_3(\zeta) &= \lambda_- \operatorname{sn}(\zeta, k) \times \\ &\times \frac{Q_1 - 4(2h+dm)\lambda_- \lambda_+ \operatorname{cn}(\zeta, k)}{4[\nu^2 - \lambda_-^2 \operatorname{sn}(\zeta, k)^2 (4+m^2)]}, \quad (\text{A.12}) \end{aligned}$$

где

$$Q_1 = \nu a(4+m^2) - \nu^2(2h+dm), \quad (\text{A.13})$$

$$\begin{aligned} \lambda_- \lambda_+ &= \\ &= \frac{\nu \sqrt{[Q_2 + \nu^2 [4h(h-dm) + d^2(16+m^2)]]}}{4(2h+dm)}, \quad (\text{A.14}) \end{aligned}$$

$$Q_2 = a^2(4+m^2)^2 - \\ - 2a\nu [2h(4-m^2) + dm(12+m^2)]. \quad (\text{A.15})$$

Коэффициенты  $\gamma$  и  $\tilde{\gamma}$  — нетривиальные функции  $\zeta$ , связанные соотношением

$$4\gamma\tilde{\gamma} = \frac{G_1 + 4\lambda_- \operatorname{sn}(\zeta, k) (4+m^2) (2h+dm) \lambda_- \lambda_+ \operatorname{cn}(\zeta, k) \operatorname{dn}(\zeta, k)}{G_2 + 4\lambda_- \operatorname{sn}(\zeta, k) (4+m^2) (2h+dm) \lambda_- \lambda_+ \operatorname{cn}(\zeta, k) \operatorname{dn}(\zeta, k)}, \quad (\text{A.16})$$

где

$$\begin{aligned} G_1 &= \nu \lambda_- \operatorname{sn}(\zeta, k) \left\{ a(4+m^2)^2 + \right. \\ &+ \nu [2h(m^2-4) - 2dm(12+m^2)] \} + \\ &+ 4(2h+dm)(4+m^2)[\lambda_- \operatorname{sn}(\zeta, k)]^3, \quad (\text{A.17}) \end{aligned}$$

$$\begin{aligned} G_2 &= \nu \lambda_- \operatorname{sn}(\zeta, k) [-a(4+m^2) - 2h\nu - dm\nu] + \\ &+ 4(2h+dm)[\lambda_- \operatorname{sn}(\zeta, k)]^3. \quad (\text{A.18}) \end{aligned}$$

Остальные коэффициенты матрицы  $\hat{A}$  определяются формулами (A.2) и (A.3)–(A.7).

## 3. Алгебраическая параметризация

В ряде частных случаев матрицы  $\hat{L}$  и  $\hat{A}$  имеют менее громоздкое, алгебраическое представление, например, для

$$d^2\nu = a(2h+dm). \quad (\text{A.19})$$

Еще более простую форму параметризации находим для  $2d = mh$ :

$$\gamma = g_1(1 - g_2\lambda), \quad \tilde{\gamma} = -g_1(1 + g_2\lambda), \quad (\text{A.20})$$

$$g_1^2 = \frac{(4+m^2)^2(2a-h\nu)}{2[2a(4+m^2)-m^2h]}, \quad g_2^2 = \frac{4h}{2a\nu-h\nu^2}, \quad (\text{A.21})$$

$$\gamma_0 = \gamma g_0, \quad \tilde{\gamma}_0 = \tilde{\gamma} g_0, \quad g_0 = \frac{m\nu}{4+m^2}, \quad (\text{A.22})$$

$$\beta_+ = \frac{\gamma\nu(2a\nu - hm^2\lambda^2)}{2[\nu^2 - (4+m^2)\lambda^2]}, \quad \tilde{\beta}_+ = \frac{\tilde{\gamma}}{\gamma}\beta_+, \quad (\text{A.23})$$

$$\beta_- = -i\gamma \frac{\nu\lambda[2a(4+m^2) - hm^2\nu]}{4[\nu^2 - (4+m^2)\lambda^2]},$$

$$\tilde{\beta}_- = -\frac{\tilde{\gamma}}{\gamma}\beta_-, \quad (\text{A.24})$$

$$\beta_3 = -\frac{\gamma m\nu[2a\nu - h(\nu^2 - 4\lambda^2)]}{4[\nu^2 - (4+m^2)\lambda^2]}, \quad \tilde{\beta}_3 = \frac{\tilde{\gamma}}{\gamma}\beta_3, \quad (\text{A.25})$$

$$\alpha_3 = \frac{(4+m^2)\lambda(2a\nu - h\nu^2 + 4h\lambda^2)}{4(\nu^2 - (4+m^2)\lambda^2)}, \quad (\text{A.26})$$

$$\alpha_+ = \frac{m(4+m^2)\lambda(2a\nu - h\nu^2 + 4h\lambda^2)}{8(\nu^2 - (4+m^2)\lambda^2)}, \quad (\text{A.27})$$

$$\sigma = \gamma h, \quad \tilde{\sigma} = \tilde{\gamma} h, \quad \delta = \gamma \frac{mh}{2}, \quad \tilde{\delta} = \tilde{\gamma} \frac{mh}{2}. \quad (\text{A.28})$$

Линейная система (30) в этом случае имеет вид

$$\partial_\tau \Phi = \begin{pmatrix} -i\lambda & (1-g_2\lambda)(U+g) \\ -(1+g_2\lambda)(U+g) & i\lambda \end{pmatrix} \Phi, \quad (\text{A.29})$$

где  $U = g_1 G$ ,  $g = g_0 g_1$ .

## ЛИТЕРАТУРА

1. Y. R. Shen, *The Principles of Nonlinear Optics*, Wiley, New York (1984).
2. A. I. Maimistov and A. M. Basharov, *Nonlinear Optical Waves*, Kluwer Acad. Publ., Dordrecht (1999).
3. А. И. Маймистов, КЭ **30**, 287 (2000).
4. В. С. Пивцов, С. Г. Раутиан, В. П. Сафонов, К. Г. Фолин, Б. М. Черноброд, Письма в ЖЭТФ **30**, 342 (1979).
5. А. А. Заболотский, ЖЭТФ **93**, 84 (1987).
6. А. А. Заболотский, ЖЭТФ **115**, 1168 (1999).
7. И. А. Полуэктов, Ю. М. Попов, В. С. Ройтберг, КЭ **3**, 2621 (1975).
8. М. Махвиладзе, М. Е. Сарычев, ЖЭТФ **71**, 896 (1976).
9. A. Nazarkin and G. Korn, Phys. Rev. A **58**, R61 (1998).
10. M. Müller, P. Kalosha, and J. Herrmann, Phys. Rev. A **58**, 1372 (1998).
11. A. S. Zibrov, A. B. Matsko, and M. O. Scully, Phys. Rev. Lett. **89**, 103601(4p) (2002).
12. А. А. Заболотский, ЖЭТФ **130**, 589 (2006).
13. R. Bavli, D. F. Heller, and Y. B. Band, Phys. Rev. A **41**, 3960 (1990).
14. C. Hoerner, J. P. Lavoine, and A. A. Villaey, Phys. Rev. A **48**, 1564 (1993).
15. M. C. Bessega, J. L. Paz, A. J. Hernández, and A. E. Crádenas, Phys. Lett. A **206**, 305 (1995).
16. V. P. Gavrilenko and E. Oks, Phys. Rev. Lett. **74**, 3796 (1995).
17. В. Е. Захаров, С. В. Манаков, С. П. Новиков, Л. П. Питаевский, *Теория солитонов: метод обратной задачи*, Наука, Москва (1980).
18. J. K. Eilbeck, J. Phys. A: Math. Gen. **5**, 1355 (1972).
19. M. Agrotis, N. M. Ercolani, S. A. Glasgow, and J. V. Moloney, Physica D **138**, 134 (2000).
20. А. А. Заболотский, Письма в ЖЭТФ **77**, 558 (2003) [A. A. Zabolotskii, JETP Lett. **77**, 464 (2003)].
21. A. A. Zabolotskii, Physica D **185**, 117 (2003).
22. H. Steudel, A. A. Zabolotskii, and R. Meinel, Phys. Rev. E **72**, 056608 (2005).
23. A. A. Zabolotskii, Phys. Rev. E **75**, 036612 (2007).
24. A. A. Zabolotskii, Eur. Phys. J. Special Topics **173**, 193 (2009).
25. R. P. Feynman, F. L. Vernon, and R. W. Hellwarth, J. Appl. Phys. **28**(1), 49 (1957).

26. J. A. Armstrong, N. Bloembergen, J. Ducuing, and P. S. Pershan, Phys. Rev. **127**, 1918 (1962); N. Bloembergen and P. S. Pershan, Phys. Rev. **128**, 606 (1962).
27. H. Steudel, Ann. Phys. (Leipzig) **34**, 188 (1977).
28. C. C. Gerry and J. H. Eberly, Phys. Rev. A **42**, 6805 (1990).
29. M. Alexanian and S. K. Bose, Phys. Rev. A **52**, 2218 (1995).
30. H. Steudel, Physica D (Amsterdam) **6**, 155 (1983).
31. D. J. Kaup, Physica D (Amsterdam) **6**, 143 (1983).
32. Y. Matsuno, J. Phys. A: Math. Theor. **43**, 105204 (2010); J. Phys. A: Math. Theor. **43**, 375201 (2010).
33. A. A. Zabolotskii, Phys. Rev. A **85**, 063833 (2012).
34. Y.-H. Sun, K. Zhao, C.-K. Wang et al., Chem. Phys. Lett. **394**, 176 (2004).
35. S. Kćinac, Z. Ikonić, and V. Milanović, Opt. Comm. **140**, 89 (1997).